

愛媛大学工学部 正会員 伊福 誠  
愛媛大学工学部 正会員 布沼忠男

### 1. まえがき

海岸構造物を計画し、設計・施工する場合には、一般に、計画潮位とともに計画波浪が必要になる。海岸災害の原因は、地震・津波を除けば、台風や冬期季節風による波浪や高潮がおもなもので、このような海岸災害を防止軽減するためには、原因である波浪、高潮の特性を十分に把握し、それに対応する各種の施策を考察することが重要となる。また、近年、船舶の大型化の傾向及び輸送量の増大に伴う港湾の能力の不足により、停泊地の拡張などの計画がなされていく。こうした防波堤及び各種構造物を波浪から防御するためには、深海領域から海岸構造物を築造する浅海領域までの波の屈折、回折、海底摩擦、水深変化などによる変形を把握することが重要となるが、こうした浅海領域における波浪の資料はきわめて少ない。以上のことから、この研究は、中予海岸を対象領域とし、現地観測に基づいて浅海における海岸波浪の変形についての基礎的資料を得ようしたものである。

著者らは、図-1に示す○の位置に、直結型水压式波高計を設置した。

この位置は、●の建設省のケーブル型水压式波高計の岸側、約320 m、河線より沖合、約570 m、T.P. 下りmの所である。

### 2. 波浪資料の解析

観測は、昭和52年12月5日11時～19日9時、53年1月18日11時～2月6日11時及び2月6日15時～20日15時までの3回行なったが、ここで解析した資料は、1月18日11時～2月6日11時までの2時間ごとのものについてである。

### 3. 解析結果

得た有義波高及ぶ有義波周期は、それれ、 $0.40 \sim 1.54 \text{ m}$  及び  $4.9 \sim 6.6 \text{ sec}$  である。有義波高と平均波高、 $1/10$ 最大波高及び最大波高の関係は、Longuet-Higgins の理論直線上にほぼのっていき。中予海岸における冬期季節風時の卓越波向は WNW である。建設省の波高計と著者らが観測に用いた波高計は、冬期季節風時の卓越波向線上にないために、波高の減衰を調べるためにあたっては図-2に示すような補正をした。

波浪変形：図-3は、沖側の有義波の波形勾配に対する単位距離当りの波高減衰を示したものである。この図をみると、沖側の波形勾配が大きくなるにつれて、単位距離当りの波高減衰は増大しているようである。こうした傾向は、著者らが大陸海岸で得た結果と似ている。沖側の有義波の波高及ぶ波高水深比と単位距離当りの波高減衰との関係では、有義波高及び波高水深比が大きくなるにつれて波高減衰も増大することを得た。図-4は、skewness の減衰比と単位距離当りの波高減衰式いずれも正の資料について示したものである。この図をみると、skewness の減衰比が大きくなるにつれて、単位距離当りの波高減衰は小さくなることがわかる。

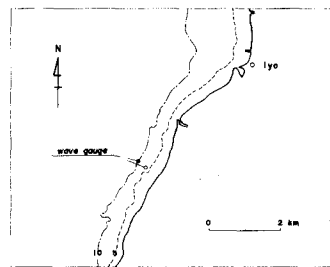


図-1 波高計位置図

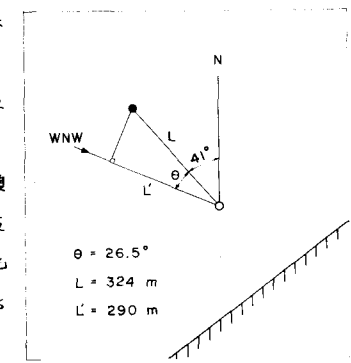


図-2 方位と2台の波高計との関係

バイスペクトルの変形：図-5(a), (b)は、それとれ、図-3 中で単位距離当りの有義波高の減衰が一番大きいもの及び一番小さいものについて示したものであるが、図中には沖側及び岸側の観測地東の圧力変動のパワースペクトルも、それとれ、実線及び破線によって示してある。黒い影をつけた部分は、バイスペクトル密度が正で、かつバイスペクトルピークの20%より大きい領域を示している。●及び○は、それとれ、正及び負のバイスペクトルピークの位置を示している。一般的の傾向として、有義波高及びskewnessがほぼ等しいものは、バイスペクトル密度の分布はほぼ相似の形をしている。(a)をみると、skewnessは約1/2になり、波形勾配及び水深波長比は岸側で小さくなっている。沖側及び岸側のパワースペクトルは、それとれ、0.16 Hz及び0.14 Hzにピークが生じ、岸側の方が大きいが、ピーク周波数の低周波側の裾及び高周波側の裾はほぼ等しい。正のバイスペクトルピーク値は約10%大きくなり、負のバイスペクトルピークの絶対値は約20%小さくなっている。両方ともパワースペクトルピーク周波数の自己相互干渉の位置に負のバイスペクトルピークが生じ、沖側及び岸側では、それとれ、パワースペクトルピークの高周波側及び低周波側に正のバイスペクトルピークが生じていることがわかる。

(b)をみると、skewnessは沖側が僅かに大きく、波形勾配はほぼ等しい。正のバイスペクトルピーク値及び負のバイスペクトルピークの絶対値はいずれも岸側の方が

大きい。バイスペクトル密度の分布は、岸側の高周波側の正の20%領域が沖側のそれに比べて僅かに大きいことを除けば、ほぼ良く似た形をしてることがわかる。図-6は、正のバイスペクトルピーク値と負のバイスペクトルピークの絶対値と単位距離当りの有義波高の減衰の関係を示したものである。この図をみると、正のバイスペクトルピーク値及び負のバイスペクトルピークの絶対値が大きいほど、単位距離当りの有義波高の減衰は大きいことがわかる。こうした傾向は著者らが大西洋海峯を得た観測結果と似ている。

以上、浅海における海峯波浪の変形を調べてきたが、こうした成果に基づいて、さらに多くの資料を解析して、浅海における海峯波浪の変形について調べていただきたいと思う。

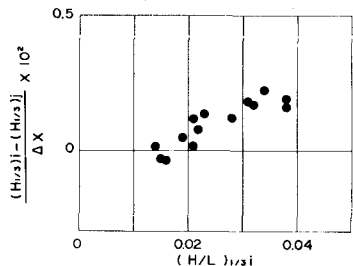


図-3 波高減衰と波形勾配との関係

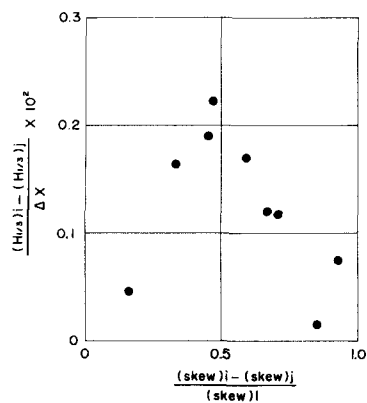
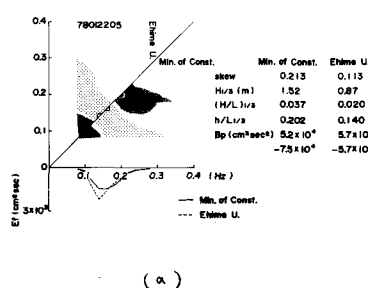
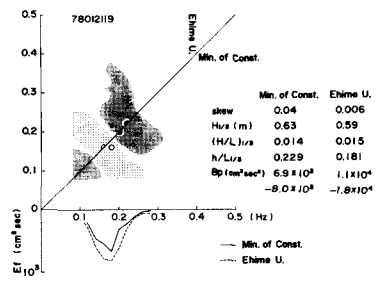


図-4 波高減衰とskewnessの減衰比との関係



(a)



(b)

図-5(a), (b) バイスペクトルの変形例

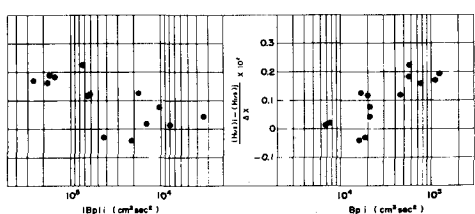


図-6 波高減衰とBp, |Bp|の関係